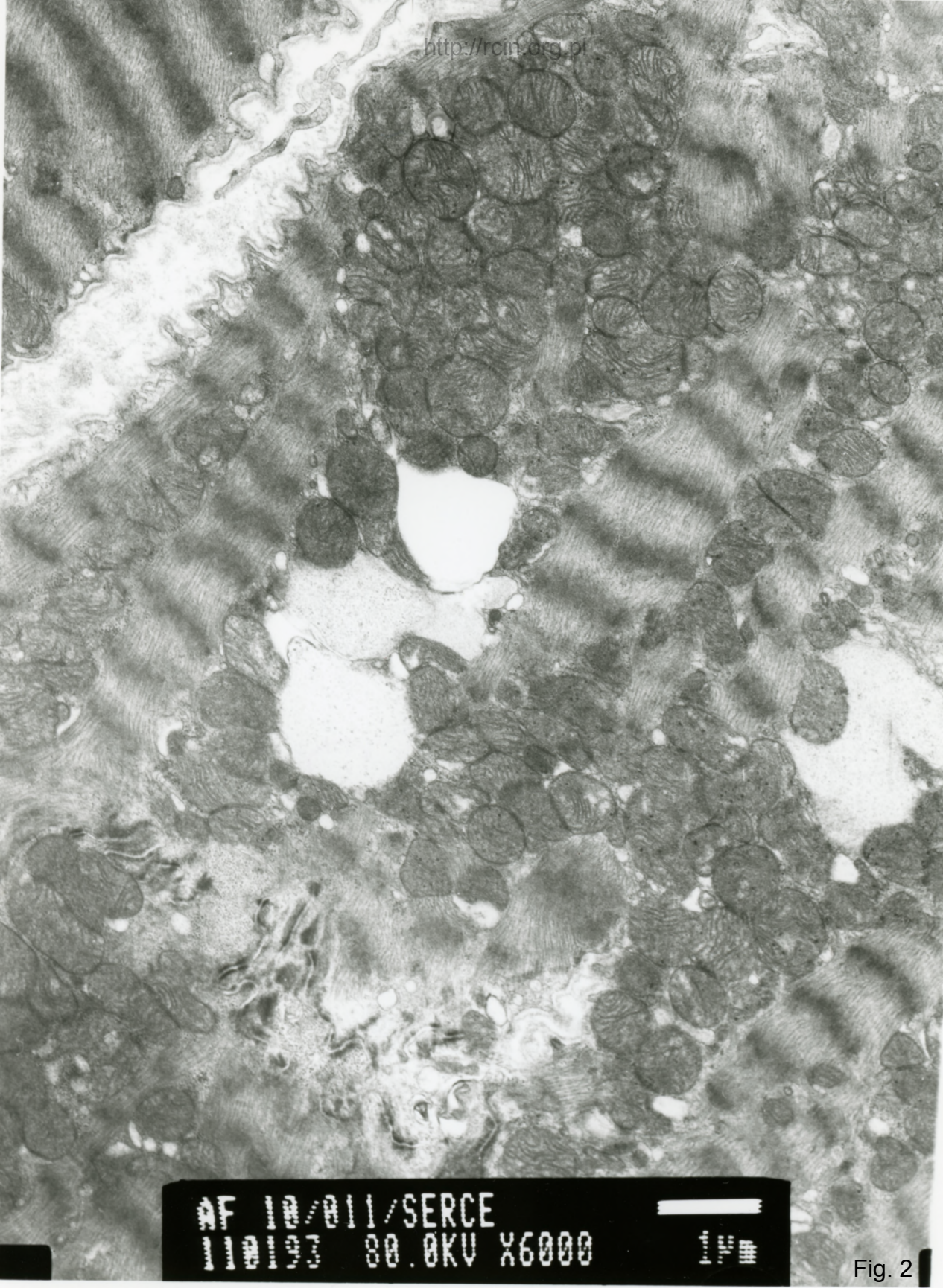
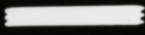


AF 10/011/SERCE
110109 80.0KV X2500 2µm

Fig. 1

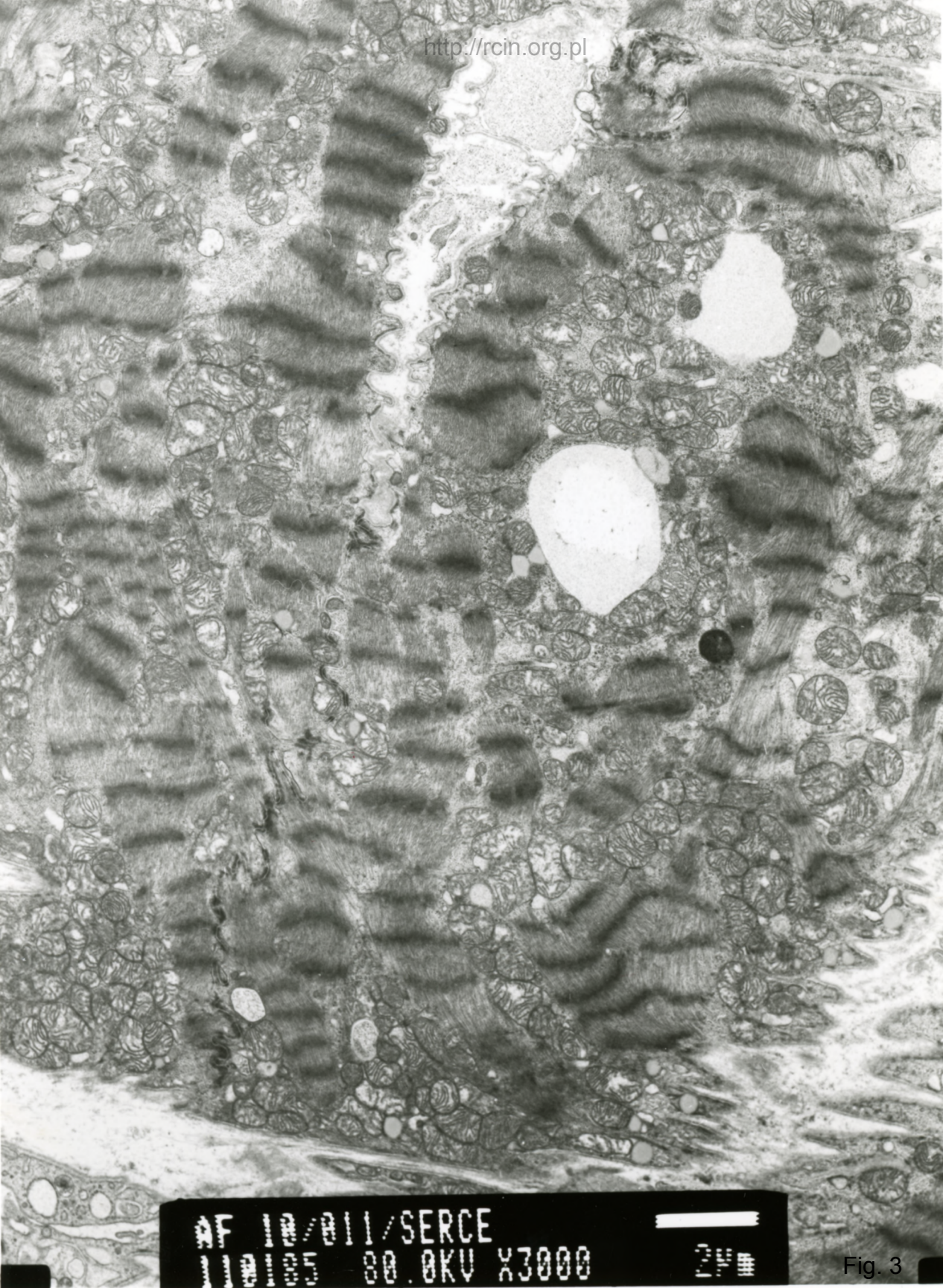


AF 10/011/SERCE
110193 80.0KV X6000



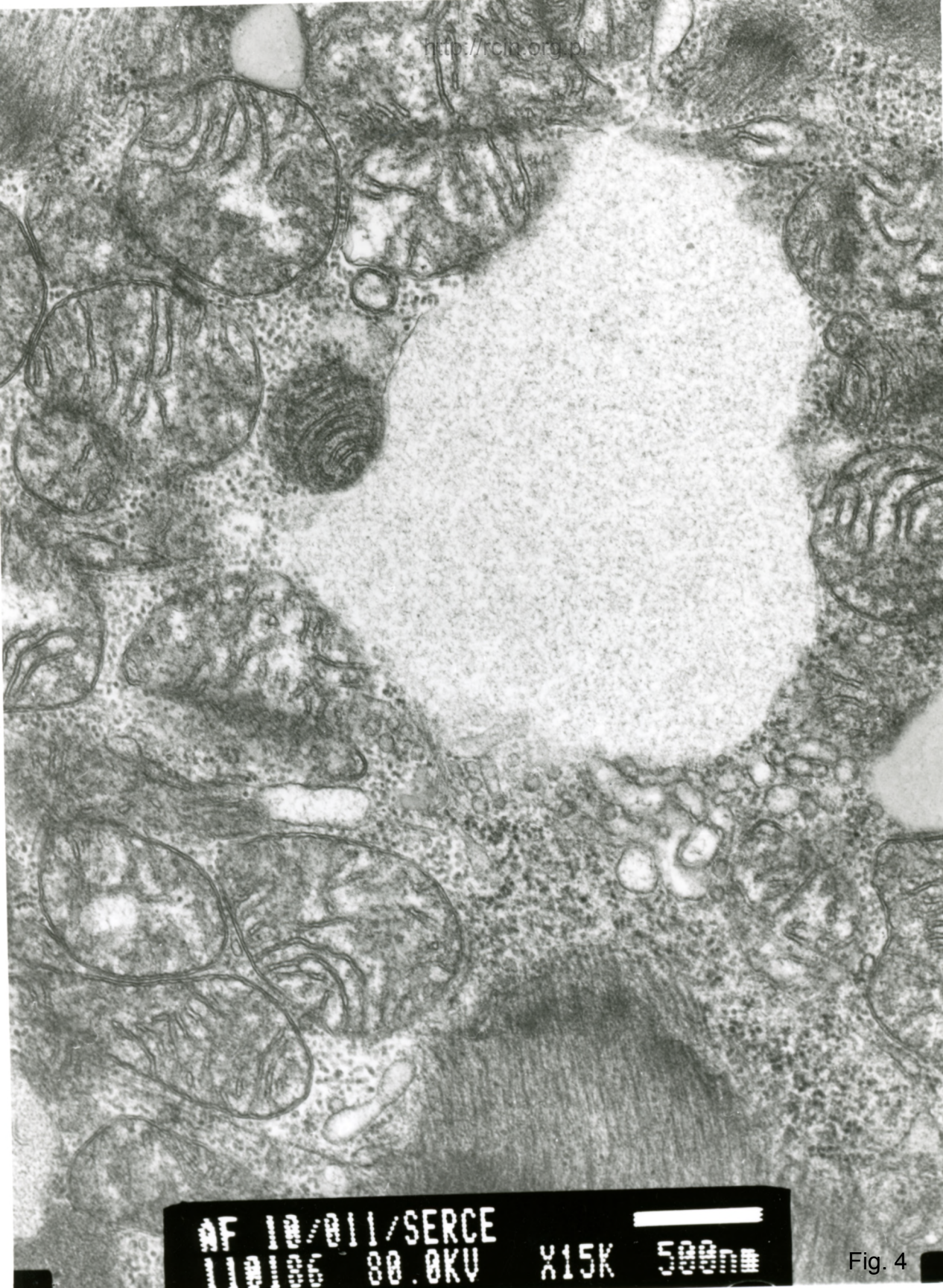
1µm

Fig. 2



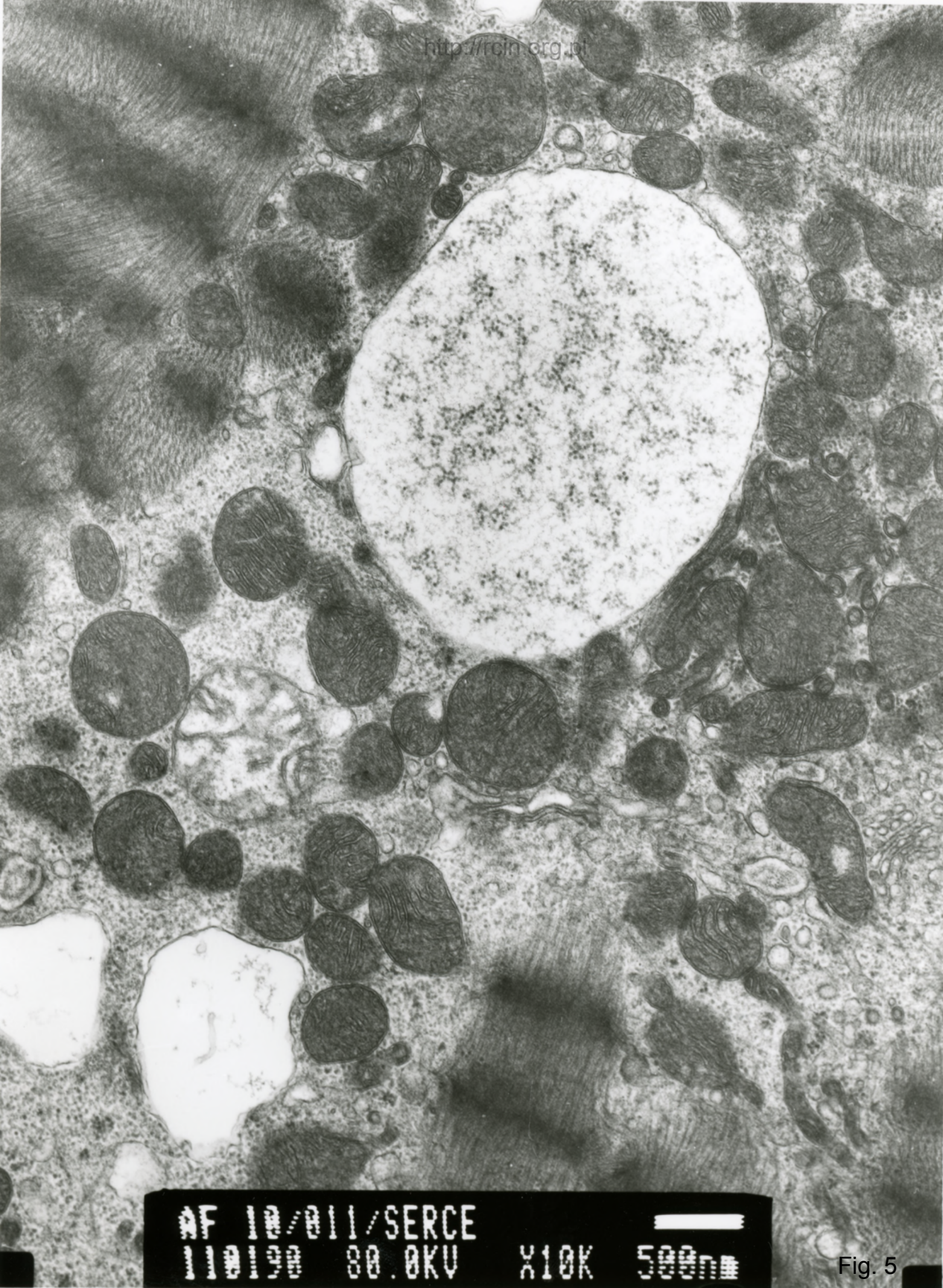
AF 10/011/SERCE
110105 00.0KV X3000 2µm

Fig. 3



AF 10/011/SERCE
110186 80.0KV X15K 500nm

Fig. 4



AF 10/011/SERCE

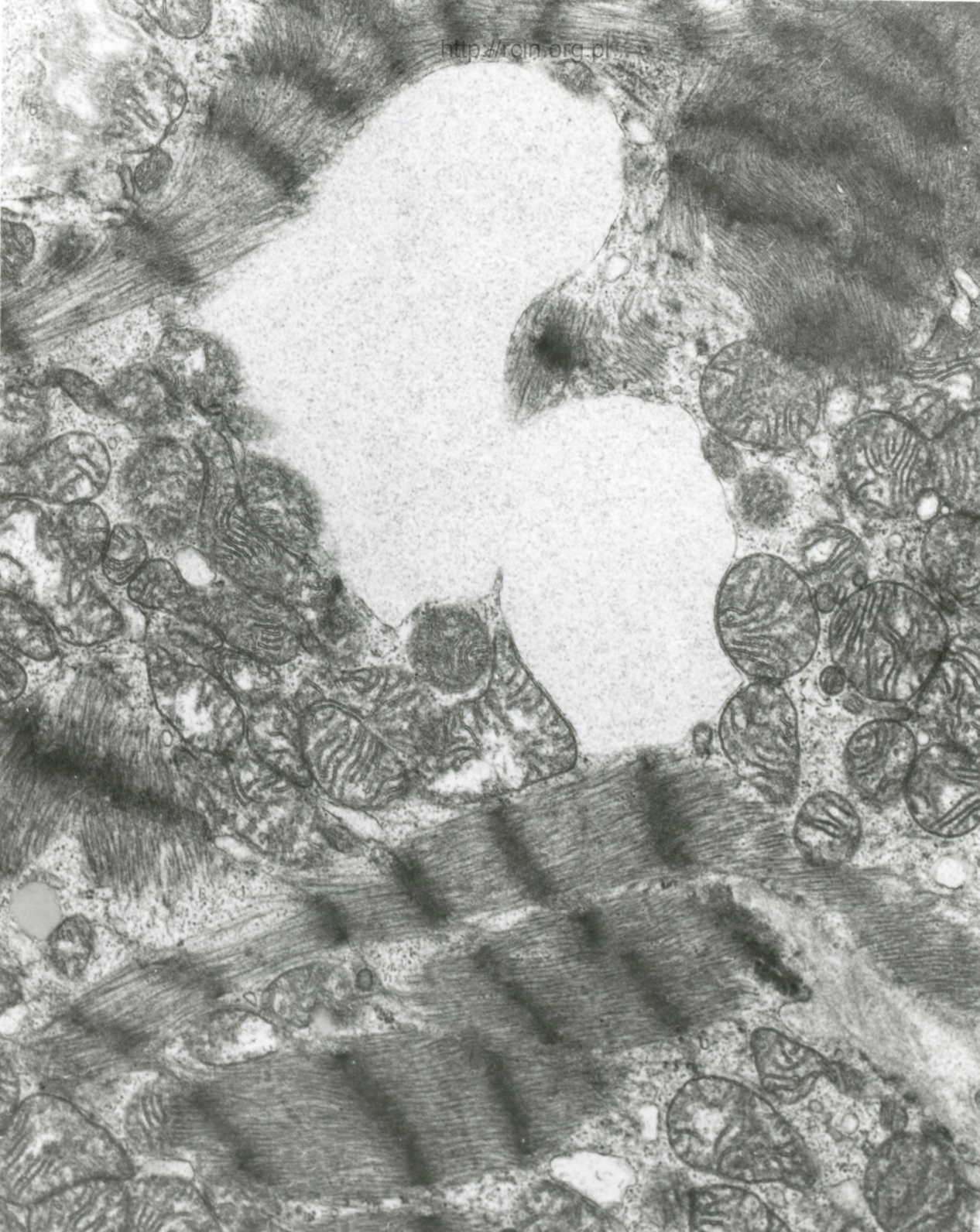
110190

80.0KV

X10K

500nm

Fig. 5



AF 10/011/SERCE
110107 80.0KV X7500

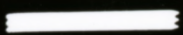
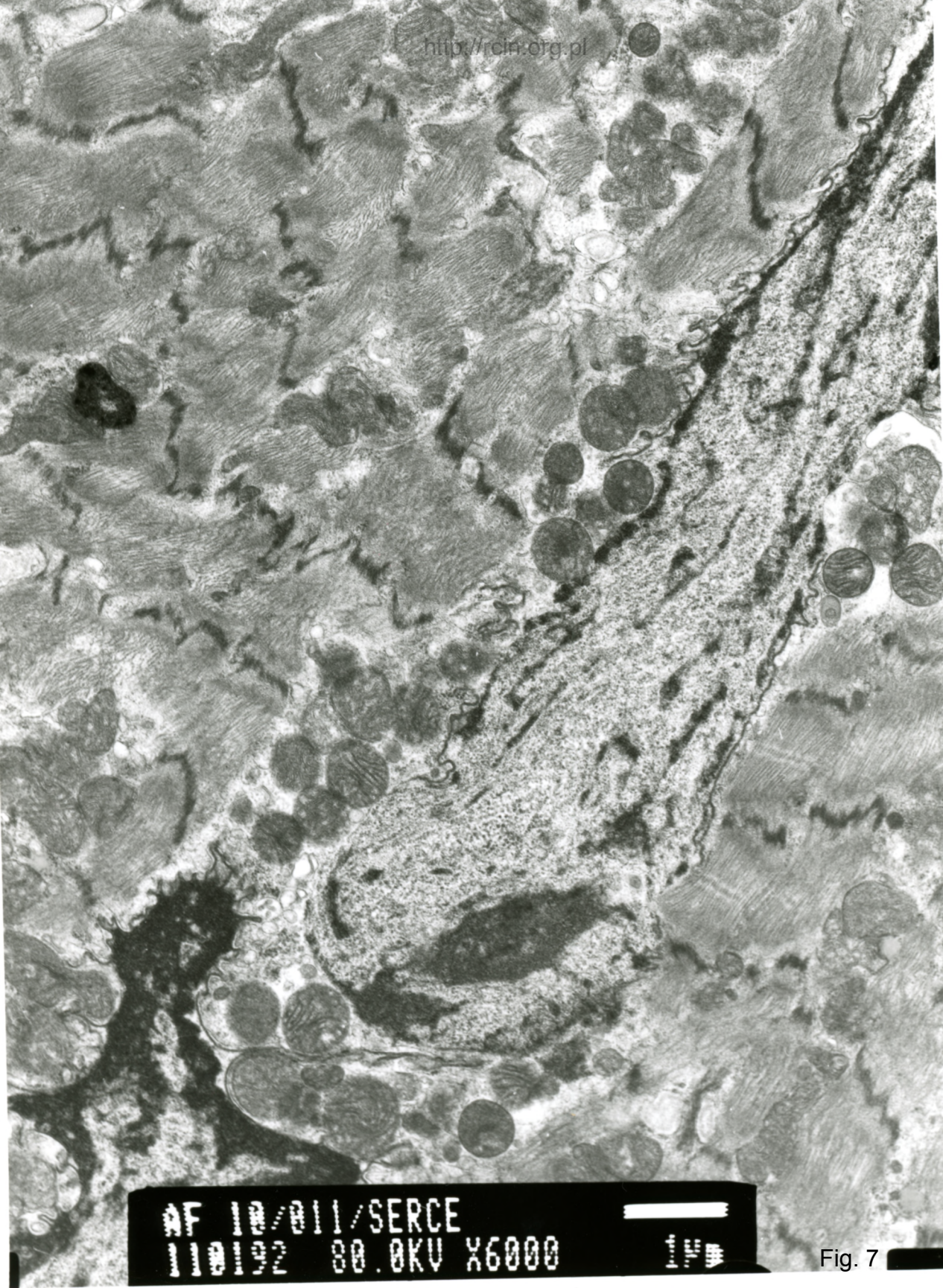


Fig. 6

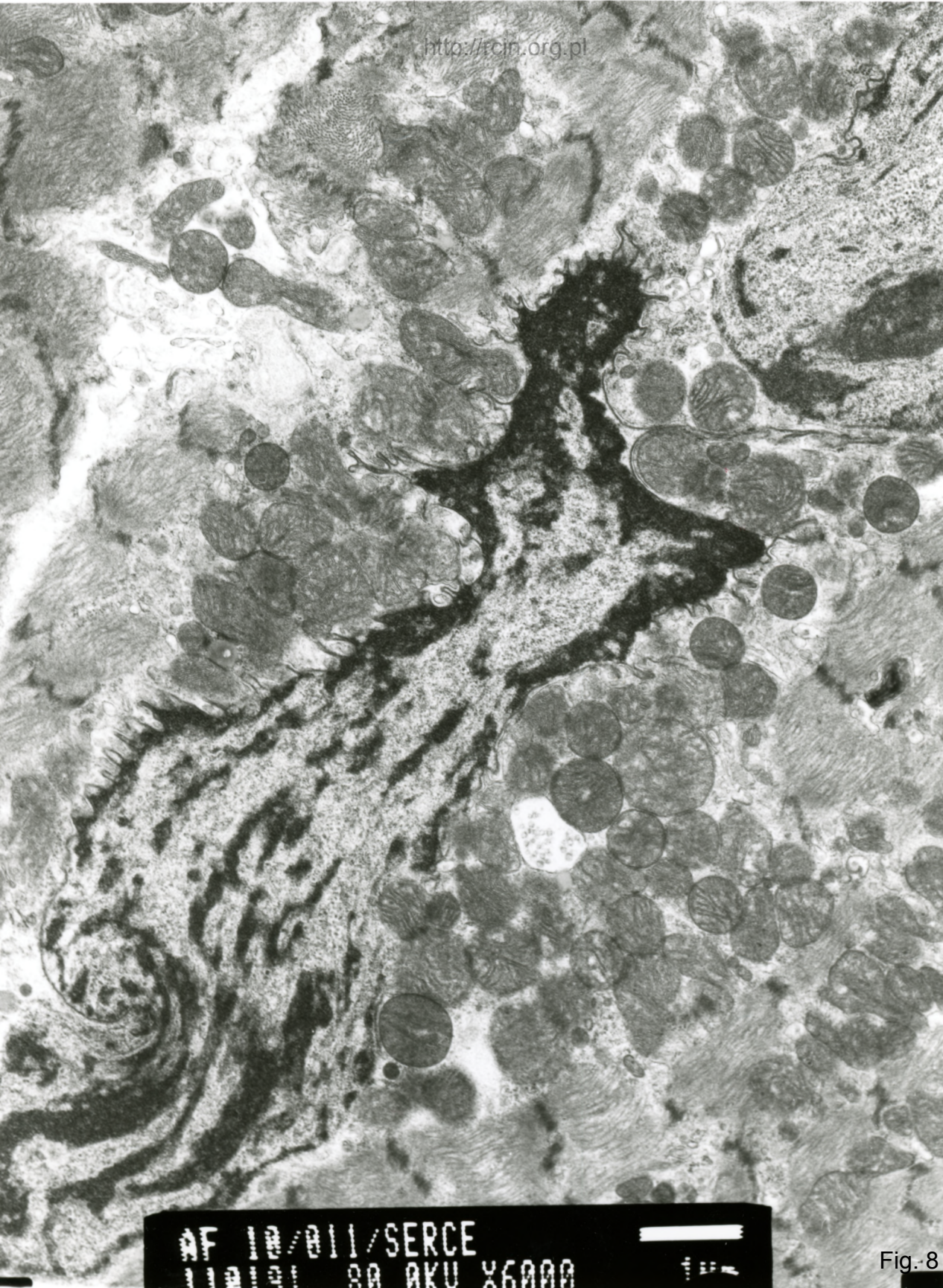


AF 10/011/SERCE
110192 80.0KV X6000



149

Fig. 7



AF 10/011/SERCE
110131 80 AKU X6000

Fig. 8

10/11

1. 46

Niewydolność mięśnia sercowego

Analiza ultrastrukturalna wykazała dezorganizację aparatu kurczliwego i cechy miocytolizy w kardiomiocytach (Fig. 1). W sarkoplazmie obecne były liczne wakuole (Fig. 2-6). Jądra kardiomiocytów charakteryzowały się zmienionym kształtem. Otoczka jądrowa posiadała liczne wgłobienia i ogniskowo była przzerwana (Fig. 7,8).

Myocardial failure

Ultrastructural analysis revealed contractile apparatus disorganization and features of myocytolysis in cardiomyocytes (Fig. 1). Numerous vacuoles were present in the sarcoplasm (Figs. 2-6). The nuclei of cardiomyocytes were characterized by an altered shape. In many nuclei envelope had numerous invaginations and focally was ruptured (Figs. 7,8).